

DS 05 - PCSI 2 et 3

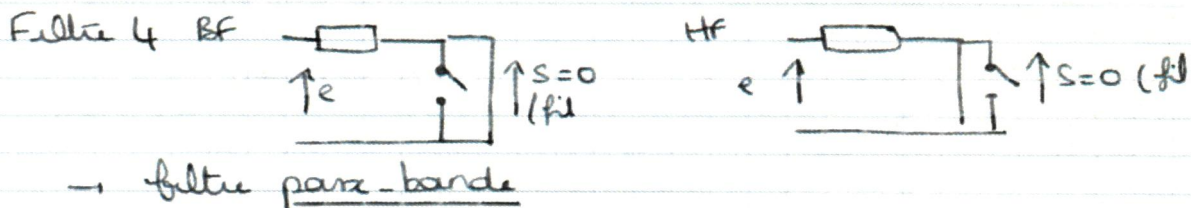
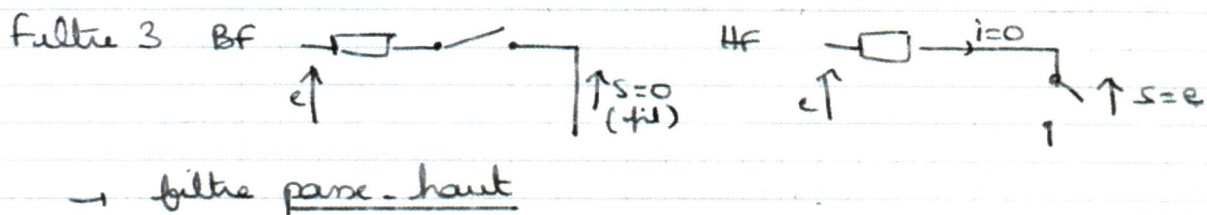
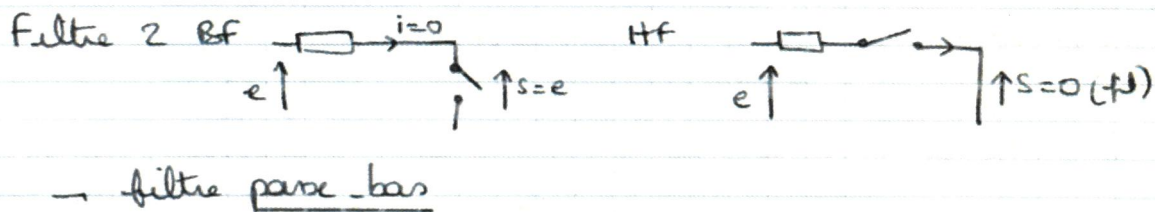
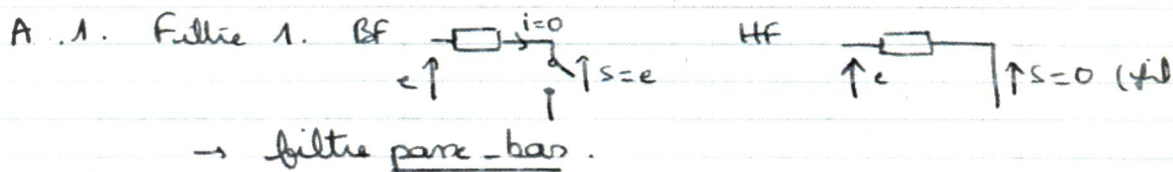
06/02/2021

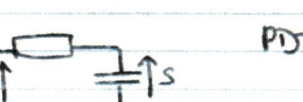
RSF et Filtrage

CORRIGÉ

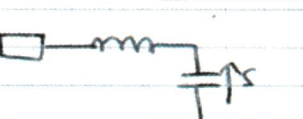
PROBLÈME I: Étude de filtres électroniques

Partie A - l'interféromètre Virgo (CCP 2015)



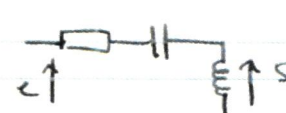
A.2. Filtre 1.  PDT $\underline{H} = \frac{z_c}{z_c + z_c} = \frac{1/j\omega C}{1/j\omega C + R} = \frac{1}{1 + jRC\omega}$

$$\Rightarrow \underline{H} = \frac{1}{1 + j\frac{\omega}{\omega_c}} \quad \text{avec } \omega_c = \frac{1}{RC}$$

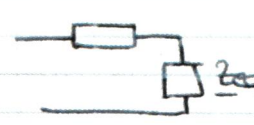
Filtre 2.  PDT $\underline{H} = \frac{z_c}{z_c + z_c + z_c} = \frac{1/j\omega C}{1/j\omega C + j\omega L + R}$

$$\Rightarrow \underline{H} = \frac{1}{1 - LC\omega^2 + jRC\omega} \quad \text{de la forme: } \underline{H} = \frac{1}{1 - x^2 + j\frac{x}{Q}}$$

$$\text{avec } x = \frac{\omega}{\omega_0}, \quad \omega_0 = \frac{1}{\sqrt{LC}}, \quad Q = \frac{1}{R} \sqrt{\frac{L}{C}}$$

Filtre 3.  PDT $\underline{H} = \frac{s}{Z + Z_R + Z_C} = \frac{j\omega L}{j\omega L + R + \frac{1}{j\omega C}}$

$\Rightarrow H = \frac{-L\omega^2}{1 - L\omega^2 + jR\omega}$ de la forme $\underline{H} = \frac{-x^2}{1 - x^2 + j\frac{x}{Q}}$
avec $x = \frac{\omega}{\omega_0}$, $\omega_0 = \frac{1}{\sqrt{LC}}$, $Q = \frac{1}{R} \sqrt{\frac{L}{C}}$

Filtre 4  \leftrightarrow  avec $\frac{1}{Z_{eq}} = j\omega L + \frac{1}{j\omega C}$

alors PDT: $\underline{H} = \frac{Z_p}{R + Z_{eq}} = \frac{1}{1 + \frac{R}{Z_{eq}}} = \frac{1}{1 + R(j\omega L + \frac{1}{j\omega C})}$

$\Rightarrow H = \frac{j\frac{\omega L}{R}}{j\frac{\omega L}{R} - L\omega^2 + 1}$ de la forme $\underline{H} = \frac{j\frac{x}{Q}}{1 - x^2 + j\frac{x}{Q}}$
avec $x = \frac{\omega}{\omega_0}$, $\omega_0 = \frac{1}{\sqrt{LC}}$, $Q = R \sqrt{\frac{C}{L}}$

B.3.1 Filtre 1 $\underline{H} = \frac{1}{1 + j\frac{\omega}{\omega_c}} \Rightarrow G_{dB} = 20 \log \left(\frac{1}{\sqrt{1 + (\frac{\omega}{\omega_c})^2}} \right)$

à BF $\omega \ll \omega_c$, $G_{dB} \approx 20 \log(1) \stackrel{BF}{=} 0 \rightarrow$ cohérent car passe bas et $G_{dB} = 0 \Rightarrow s = e!$

à HF, $\omega \gg \omega_c$, $G_{dB} \approx 20 \log \left(\frac{1}{\sqrt{(\frac{\omega}{\omega_c})^2}} \right)$
 $\Rightarrow (\frac{\omega}{\omega_c})^2 \gg 1$

$\Rightarrow G_{dB} \approx 20 \log \left(\frac{\omega_c}{\omega} \right) \stackrel{HF}{=} -20 \log \left(\frac{\omega}{\omega_c} \right)$

\Rightarrow la pente de l'asymptote à HF ($\omega \gg \omega_c$) est de -20 dB/décade . (comportement intégrateur).

B.3.2. on a $G_{dB}(\omega_c) = G_{dB}(f_c) = 20 \log \left(\frac{1}{\sqrt{1 + (\frac{1}{f_c})^2}} \right) = 20 \log \left(\frac{1}{\sqrt{2}} \right)$

$\Rightarrow G_{dB}(f_c) = -3 \text{ dB}$.

On lit donc f_c tq $G_{dB}(f_c) = -3 \text{ dB}$

On trouve $f_c \approx 200 \text{ Hz}$

B.3.3. $\omega_c = \frac{1}{RC}$ or $\omega_c = 2\pi f_c$ donc $f_c = \frac{1}{2\pi RC}$

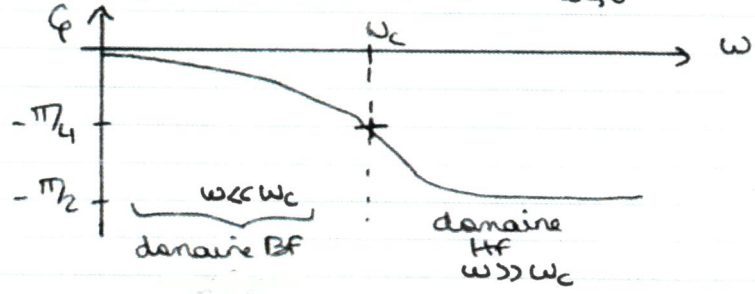
$\Rightarrow C = \frac{1}{2\pi R f_c}$

A.N. $C = \frac{1}{2\pi \cdot 10^3 \cdot 2 \cdot 10^2} \approx \frac{1}{10^4 \cdot 10^3 \cdot 10^2} \approx 10^{-6} \text{ F}$

\rightarrow valeur cohérente

B.3. Allure de $\varphi(f)$. $\varphi = \text{Arg}(\underline{H}) = \text{Arg}(1) - \text{Arg}(1 + j\frac{\omega}{\omega_c})$
 $= 0$ car $1 > 0$

$\Rightarrow \varphi = -\arg(1 + j\frac{\omega}{\omega_c}) = -\arctan(\frac{\omega}{\omega_c})$. $\lim_{\omega \rightarrow 0} \varphi = 0$ $\lim_{\omega \rightarrow \infty} \varphi = -\frac{\pi}{2}$

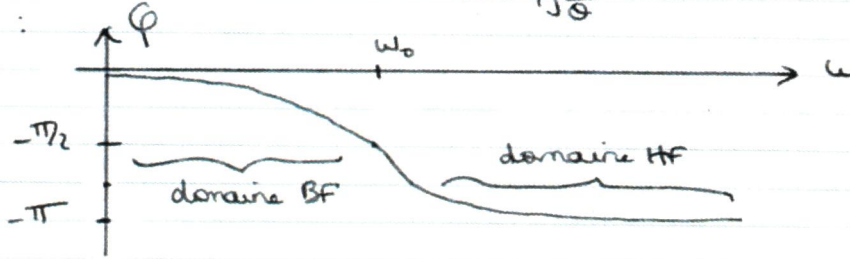


A.4. On veut un filtre qui permet d'obtenir un signal de sortie en opposition de phase (déphasage $\pm \pi$) avec le signal d'entrée.

D'après A.3.4, c'est impossible avec le filtre 1 car $\varphi \in [0, -\frac{\pi}{2}]$.

Pour le filtre 2, on a $\varphi = \arg(\frac{1}{1-x^2+j\frac{x}{Q}})$ soit $\varphi = -\arg(1-x^2+j\frac{x}{Q})$.

Allure :

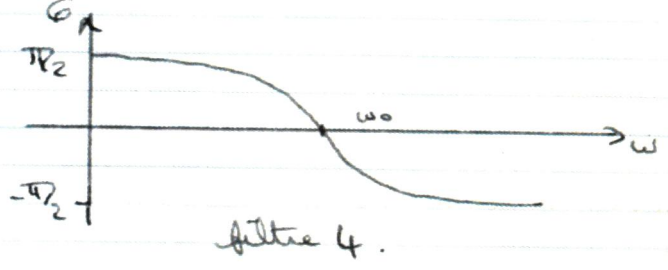
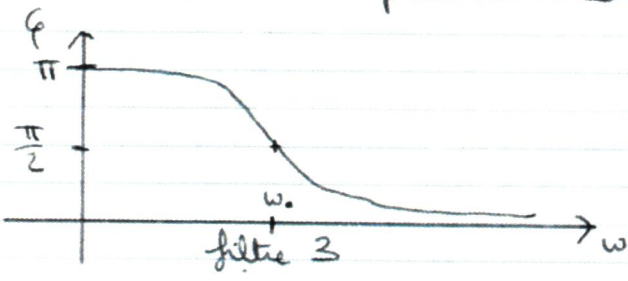


en effet, à
 BF $\varphi \rightarrow -\arg(1) = 0$.
 à HF, $x^2 \gg 1$
 $\varphi \approx -\arg(-x^2(1 - j\frac{1}{Qx}))$
 $= -\arg(-x^2) + \arctan(\frac{1}{Qx})$
 $\rightarrow -\pi + 0 = -\pi$.

le filtre 2 \rightarrow Il est donc possible de réaliser une opposition de phase avec en se plaçant à $\omega \gg \omega_0$ (donc en choisissant $\omega_0 \ll \omega_{\text{signal}}$).

Pour le filtre 3, on a $\varphi = \arg(-z^2) - \arg(1-x^2+j\frac{x}{Q}) \rightarrow$ il suffit de traduire la courbe précédente de $+\pi$.

Quant au filtre 4, on a $\varphi = \arg(j\frac{x}{Q}) - \arg(1-x^2+j\frac{x}{Q}) \rightarrow$ il suffit de traduire la courbe précédente de $+\frac{\pi}{2}$.



le filtre 3 \rightarrow Il est donc possible de réaliser une opposition de phase avec le en se plaçant à $\omega \ll \omega_0$ (donc en choisissant $\omega_0 \gg \omega_{\text{signal}}$)
 on constate que c'est impossible avec le filtre 4 ($\varphi \in [\frac{\pi}{2}, -\frac{\pi}{2}]$).

Bilan : on peut choisir le filtre 2 en prenant $\omega_0 \ll \omega_{\text{signal}}$ ou le filtre 3 en prenant $\omega_0 \gg \omega_{\text{signal}}$

A.5. le filtre 2 est un passe-bas, il atténue les HF. or, l'opposition de phase est obtenue uniquement qu'à HF.

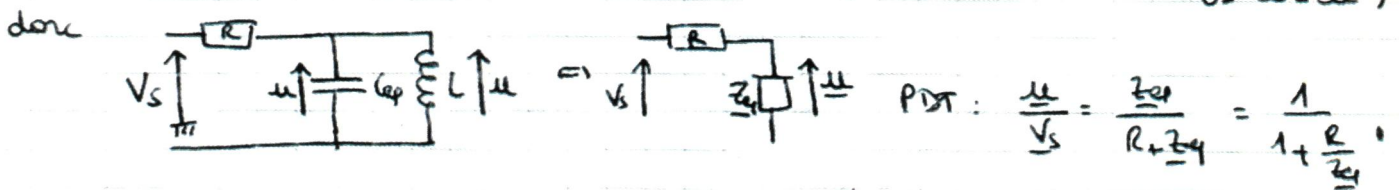
\rightarrow il faut mettre un amplificateur pour réamplifier les signaux atténués par le filtre.

Même remarque pour le filtre 3 qui est passe-haut et qui atténue les BF. Or $\varphi = +\pi$ uniquement pour les BF.

Partie B - Etude de deux filtres (Centrale Supélec Psi 2010)

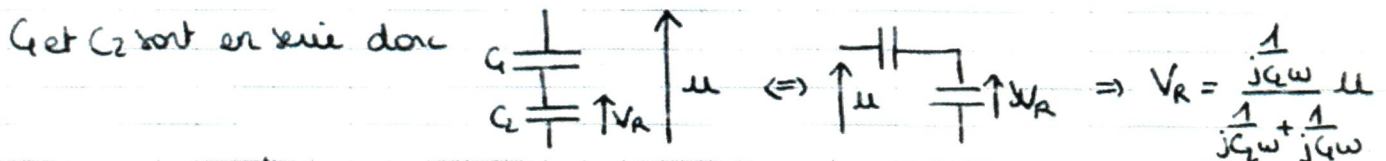
B.1. Etude du filtre 1.

B.1.1. G et C_2 sont en série donc $C_{eq} = \frac{1}{\frac{1}{G} + \frac{1}{C_2}} = \frac{GC_2}{G+C_2}$ (démonstration fac. vide résultat et cours)



avec $\frac{1}{Z_{eq}} = jC_{eq}\omega + \frac{1}{jL\omega} \Rightarrow \frac{u}{V_s} = \frac{1}{1+jR(C_{eq}\omega - \frac{1}{L\omega})}$

on fait ensuite un deuxième P.D.T pour exprimer u en fonction de V_e



$\Rightarrow V_R = \frac{1}{1+\frac{C_2}{G}} u$

on en déduit $\beta = \frac{V_R}{V_s} = \frac{V_R}{u} \times \frac{u}{V_s} = \frac{1}{1+\frac{C_2}{G}} \times \frac{1}{1+jR(C_{eq}\omega - \frac{1}{L\omega})}$

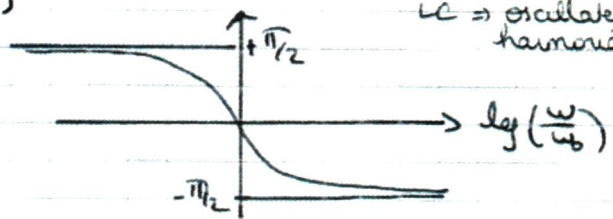
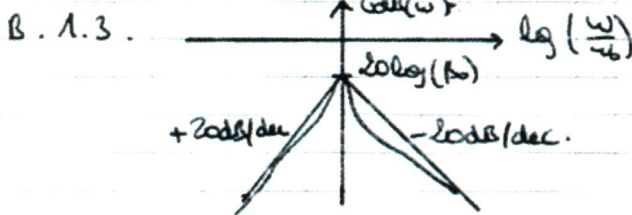
$\frac{G}{G+C_2} \quad 1+jQ(\frac{\omega}{\omega_0} - \frac{\omega_0}{\omega})$

de la forme $\beta = \frac{\beta_0}{1+jQ(\frac{\omega}{\omega_0} - \frac{\omega_0}{\omega})}$ avec $\beta_0 = \frac{G}{G+C_2}$, $\omega_0 = \frac{1}{\sqrt{LC_{eq}}}$ et $Q\omega_0 = \frac{R}{L}$

$\Rightarrow Q = \frac{R}{L} \times \sqrt{LC_{eq}}$

$$\beta = \frac{\beta_0}{1+jQ(\frac{\omega}{\omega_0} - \frac{\omega_0}{\omega})} \quad \text{avec } \beta_0 = \frac{G}{G+C_2}, \omega_0 = \frac{1}{\sqrt{LC_{eq}}}, Q = R\sqrt{\frac{C_{eq}}{L}}, C_{eq} = \frac{GC_2}{G+C_2}$$

B.1.2. Filtre passe bande (ordre 2)



$\varphi = -\arg(1+jQ(\frac{\omega}{\omega_0} - \frac{\omega_0}{\omega}))$

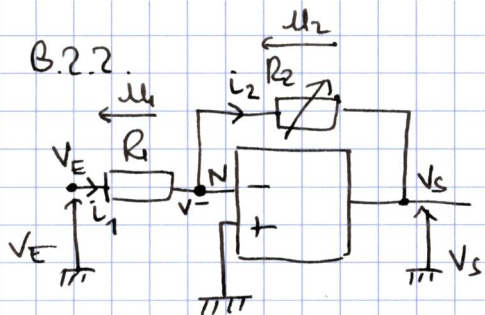
à BF, $\varphi \approx -\arg(-jQ\frac{\omega_0}{\omega}) \rightarrow +\frac{\pi}{2}$

à HF, $\varphi \approx -\arg(jQ\frac{\omega}{\omega_0}) \rightarrow -\frac{\pi}{2}$

à BF, $\omega \ll \omega_0$, $G_{dB}(\omega) \approx +20 \log \left(\frac{\beta_0}{Q\frac{\omega_0}{\omega}} \right)$
 \Rightarrow pente $+20\text{dB/dec}$.

à HF $\omega \gg \omega_0$, $G_{dB}(\omega) \approx 20 \log \left(\frac{\beta_0}{Q\frac{\omega}{\omega_0}} \right) = -20 \log \left(\frac{Q\omega}{\beta_0\omega_0} \right)$
 \Rightarrow pente -20dB/dec .

B.2.1. Un fil relie la borne \ominus de l'A.O à sa sortie (celle de $\frac{A}{1+s\tau}$) \Rightarrow bouclage entre V_s et V_r
 \rightarrow l'A.O. peut fonctionner en régime linéaire



D'après la loi des nœuds en N,

$$i_1 = i_2$$

car $i_- = 0^*$. Donc les deux résistances sont en série. * car l'A.L.I. est idéal.

Or, d'après la loi d'Ohm, $i_1 = \frac{U_1}{R_1}$ et $i_2 = \frac{U_2}{R_2}$

comme $U_1 = V_E - V^-$ et $U_2 = V^- - V_S$

On en déduit : $i_1 = \frac{V_E - V^-}{R_1}$ et $i_2 = \frac{V^- - V_S}{R_2}$

or $i_1 = i_2$ donc

$$\frac{V_E - V^-}{R_1} = \frac{V^- - V_S}{R_2}$$

or l'A.L.I. fonctionne en régime linéaire donc $V^- = V^+$. Or, $V^+ = 0$ ici (car borne \oplus reliée à la masse) donc $V^- = 0$.

Ainsi $\frac{V_E}{R_1} = -\frac{V_S}{R_2}$ ce qui donne $\boxed{\frac{V_S}{V_E} = -\frac{R_2}{R_1}}$

Remarque : le th. de Millman donnait directement, au nœud N :

$$V_N = \frac{V_E/R_1 + V_S/R_2}{1/R_1 + 1/R_2} \text{ avec } V_N = V^- = V^+ = 0 \Rightarrow \frac{V_E}{R_1} + \frac{V_S}{R_2} = 0$$

ce qui donnait directement le résultat.

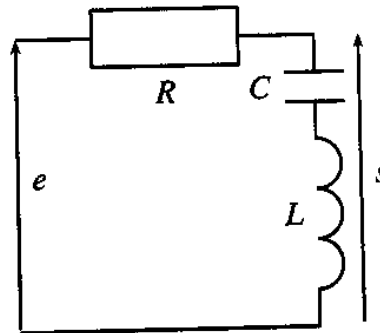
On trouve que $\frac{V_S}{V_E} \in \mathbb{R}$, ce montage ne déphase pas en revanche,

si $R_2 \gg R_1$, $|V_S| \gg |V_E|$, on parle de montage AMPLIFICATEUR

et inverseur (car $\frac{V_S}{V_E} < 0$).

Partie C – Elimination du bruit

Le filtre doit être coupe-bande et avoir pour fréquence de coupure $f=50\text{Hz}$. On propose le filtre simple ci-contre.



▪ Vérification du comportement coupe-bande :

→ À basse fréquence (BF), la bobine se comporte comme un fil et le condensateur comme un interrupteur ouvert. À cause de l'interrupteur ouvert, l'intensité du courant est nulle dans le circuit et donc $U_R=0$. Comme la tension aux bornes d'un fil est nulle, $U_L=0$. Donc $U_C=s=e$.

→ À haute fréquence (HF), la bobine se comporte comme un interrupteur ouvert et le condensateur comme un fil. À cause de l'interrupteur ouvert, i est nulle dans le circuit et donc $U_R=0$. Comme la tension aux bornes d'un fil est nulle, $U_C=0$. Donc $U_L=s=e$.

▪ Détermination de la fonction de transfert.

Posons \underline{Z}_{eq} l'impédance équivalente de L et C en série. D'après la relation du pont diviseur de tension :

$$\underline{H} = \frac{\underline{Z}_{eq}}{R + \underline{Z}_{eq}} = \frac{jL\omega + \frac{1}{jC\omega}}{R + jL\omega + \frac{1}{jC\omega}} = \frac{1 - LC\omega^2}{1 - LC\omega^2 + jRC\omega}$$

$[LC] = T^2$ et $[RC] = T$ donc la relation est homogène.

De plus, \underline{H} est de la forme :

$$\underline{H} = \frac{1 - x^2}{1 - x^2 + j\frac{x}{Q}} \quad \text{avec } x = \frac{\omega}{\omega_c}, \quad \omega_c = \frac{1}{\sqrt{LC}} \quad \text{et} \quad Q = \frac{1}{R} \sqrt{\frac{L}{C}}$$

On remarque que $\underline{H}=0$ pour $x=1$.

▪ Choix des valeurs des composants

On veut $f_c = \frac{1}{2\pi\sqrt{LC}} = 50\text{Hz}$, et on veut un filtre très sélectif (pour ne filtrer que le bruit). Il faut donc $\Delta f = \frac{f_c}{Q} \ll f_c$ soit $Q \gg 1$.

Prenons : $L=100\text{mH}$, $C=100\mu\text{F}$, $R=10\Omega$. Ainsi, $f_c = 50\text{Hz}$ et $Q=3,1$ ce qui implique $\Delta f=16\text{Hz}$.

Remarquons que l'on pourrait s'abstenir de résistance (il y aurait alors uniquement la résistance des fils et celle de la bobine). En effet, souvent en TP, $R_{bobine} \approx 10\Omega$.